

Online-Anhang Abbildungen

Florian Buchmayr

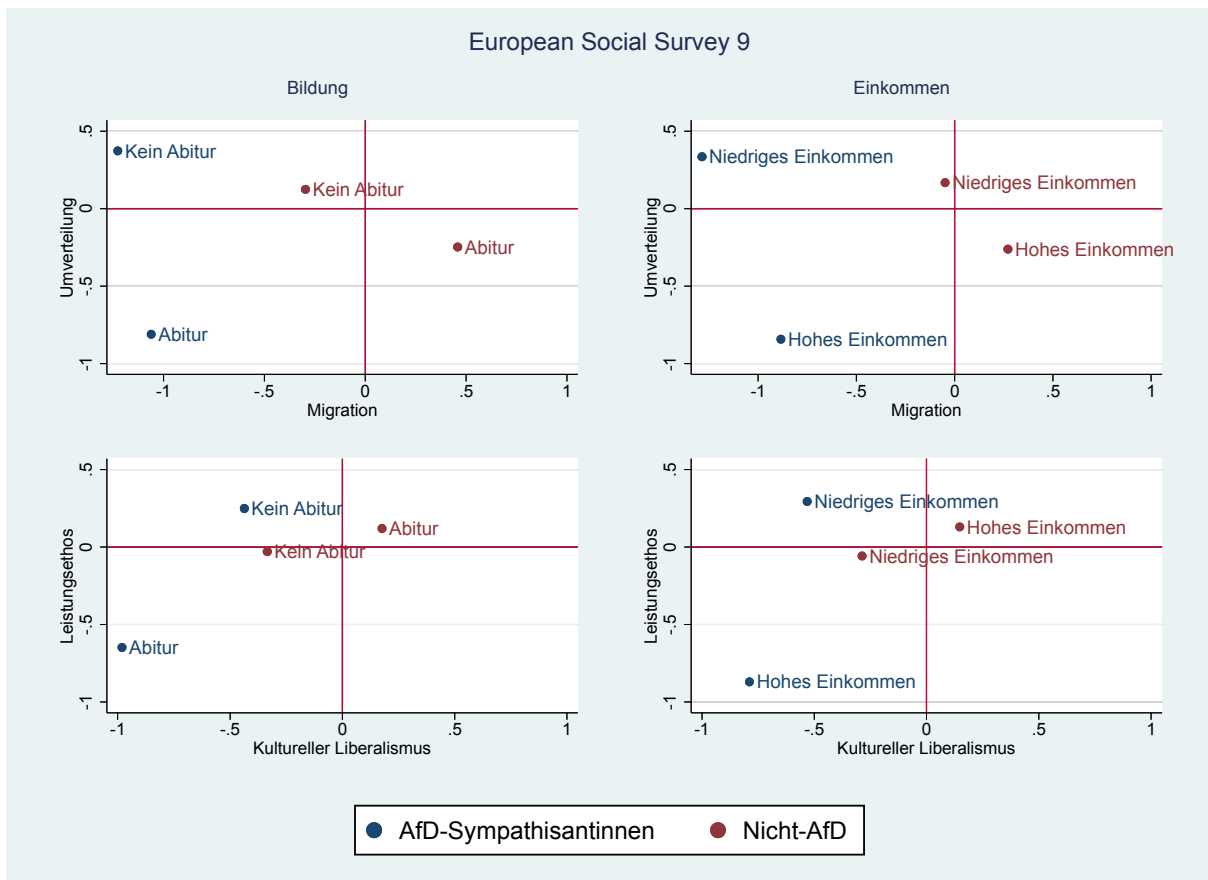


Abb. 7 Verortung in zweidimensionalen politischen Räumen von Personen mit und ohne Affinitäten zur AfD für unterschiedliche Einkommens- und Bildungsklassen (Quelle: Eigene Berechnungen mit Daten des ESS 9)

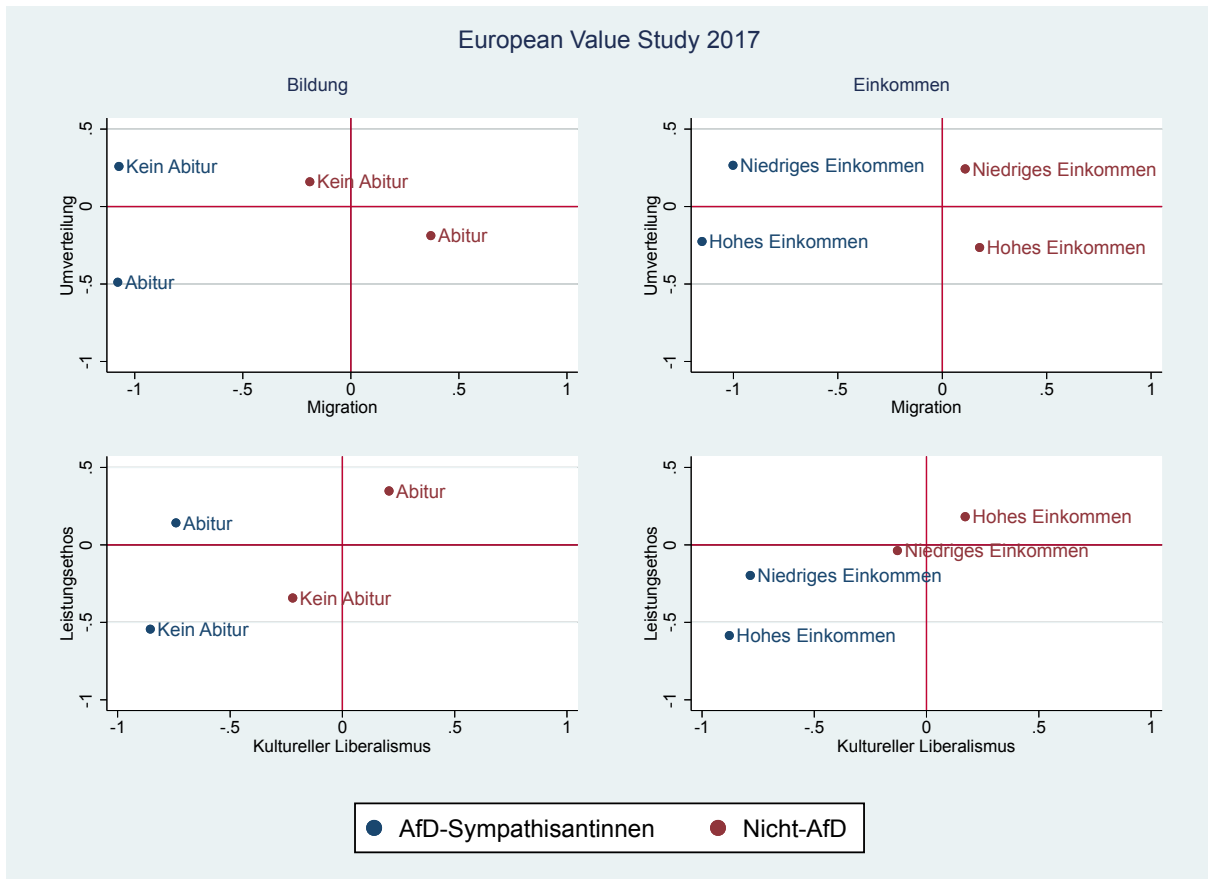


Abb. 8 Verortung in zweidimensionalen politischen Räumen von Personen mit und ohne Affinitäten zur AfD für unterschiedliche Einkommens- und Bildungsklassen (Quelle: Eigene Berechnungen mit Daten des ESS 9)

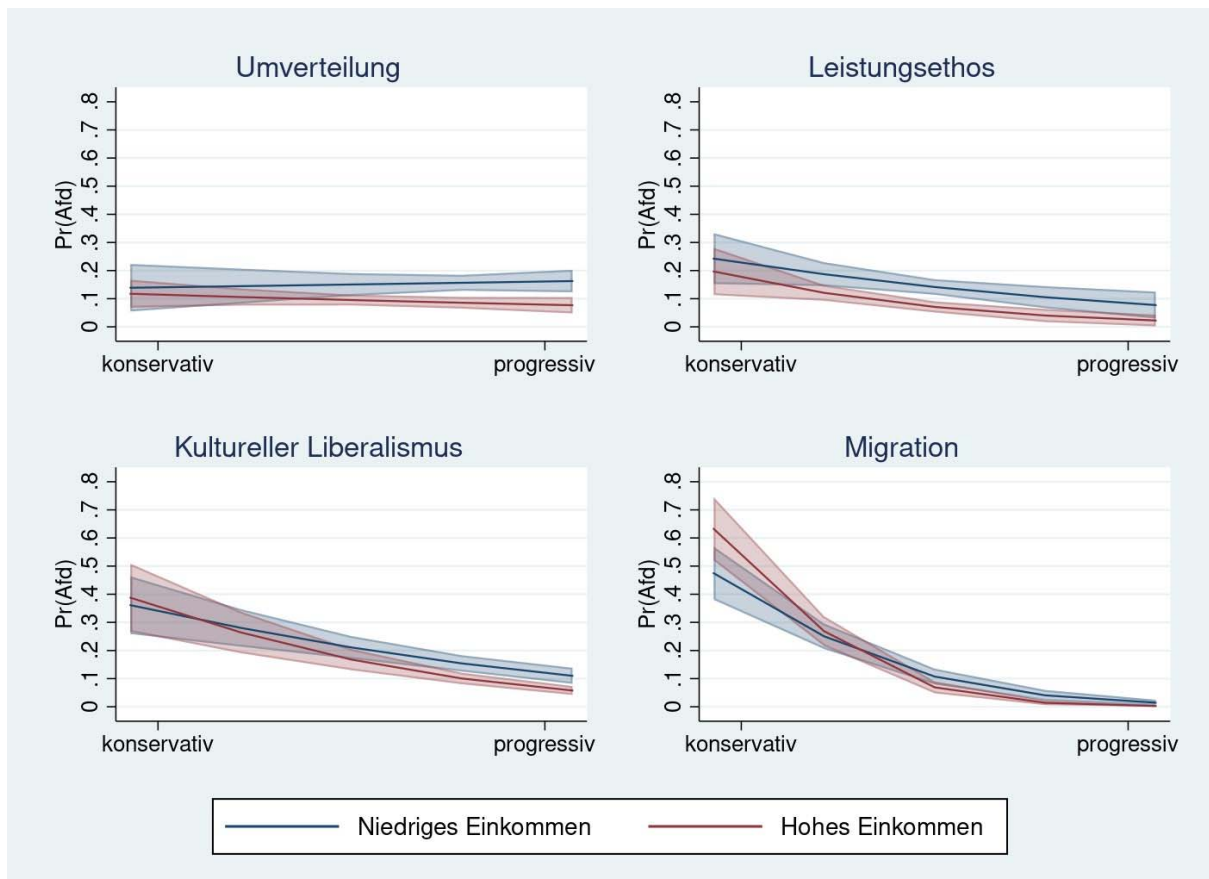


Abb. 9 Vorhergesagte Wahrscheinlichkeiten für AfD-Sympathie für unterschiedliche Einkommensklassen für vier unterschiedliche Einstellungsdimensionen (Quelle: Eigene Berechnungen mit Daten des ALLBUS 2018; für detaillierte Ergebnisse siehe Tabelle 4 im Online-Anhang)

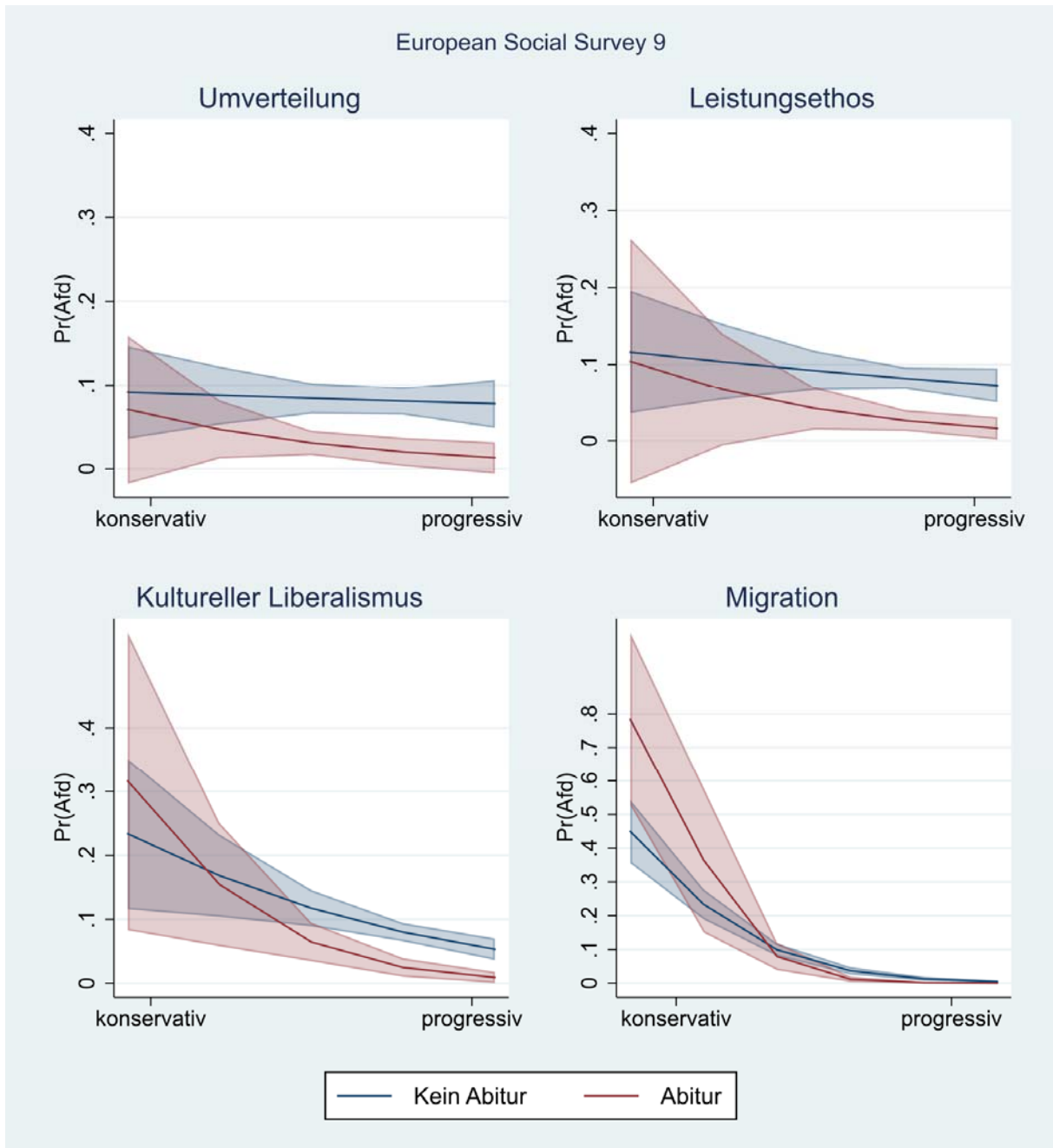


Abb. 10 Vorhergesagte Wahrscheinlichkeiten für AfD-Sympathie für unterschiedliche Bildungsklassen für vier unterschiedliche Einstellungsdimensionen (Quelle: Eigene Berechnungen mit Daten des ESS 9; für detaillierte Ergebnisse siehe Tabelle 3 im Online-Anhang)

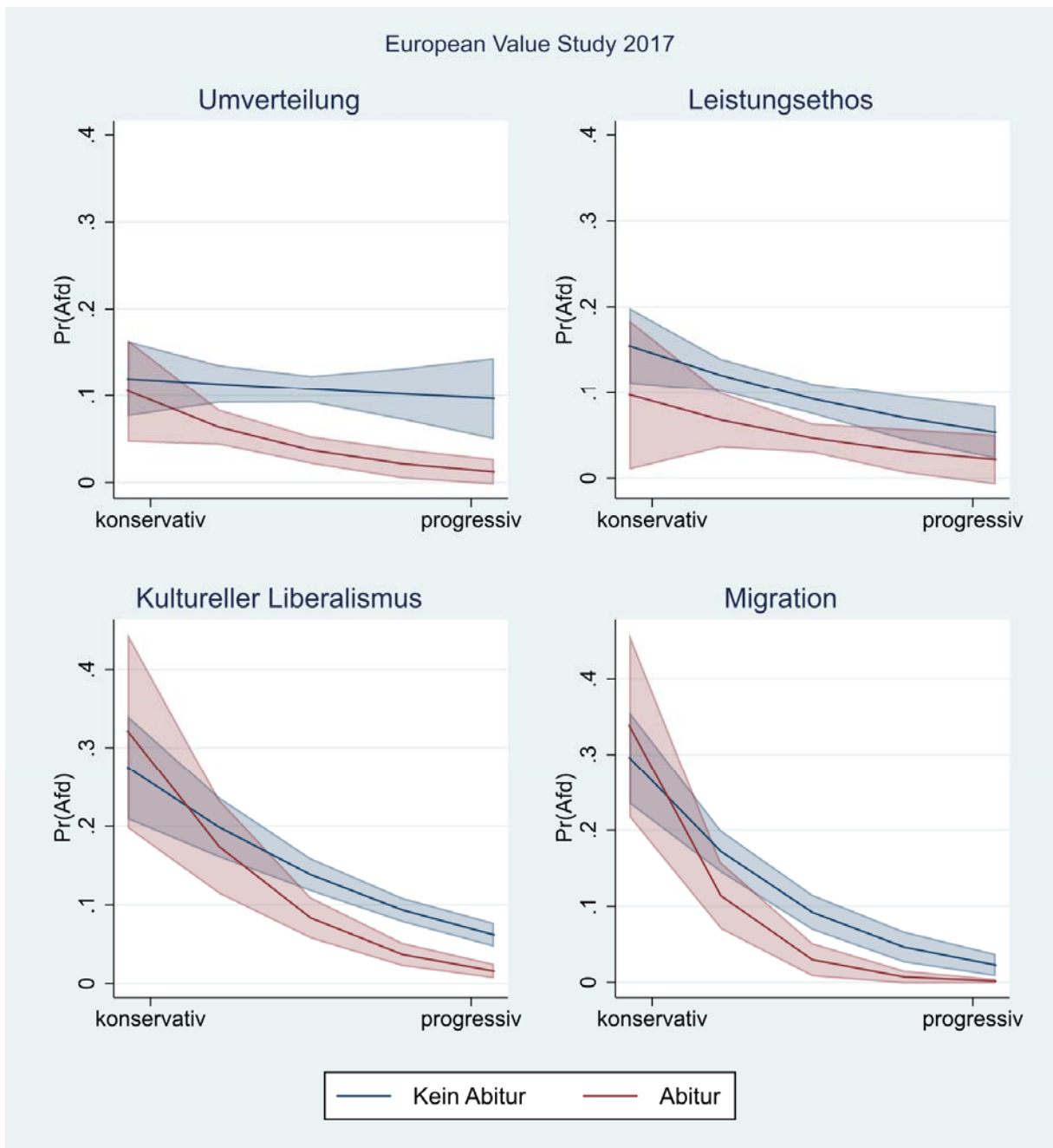


Abb. 11 Vorhergesagte Wahrscheinlichkeiten für AfD-Sympathie für unterschiedliche Bildungsklassen für vier unterschiedliche Einstellungsdimensionen. (Quelle: Eigene Berechnungen mit Daten der EVS 2017; für detaillierte Ergebnisse siehe Tabelle 3 im Online-Anhang)

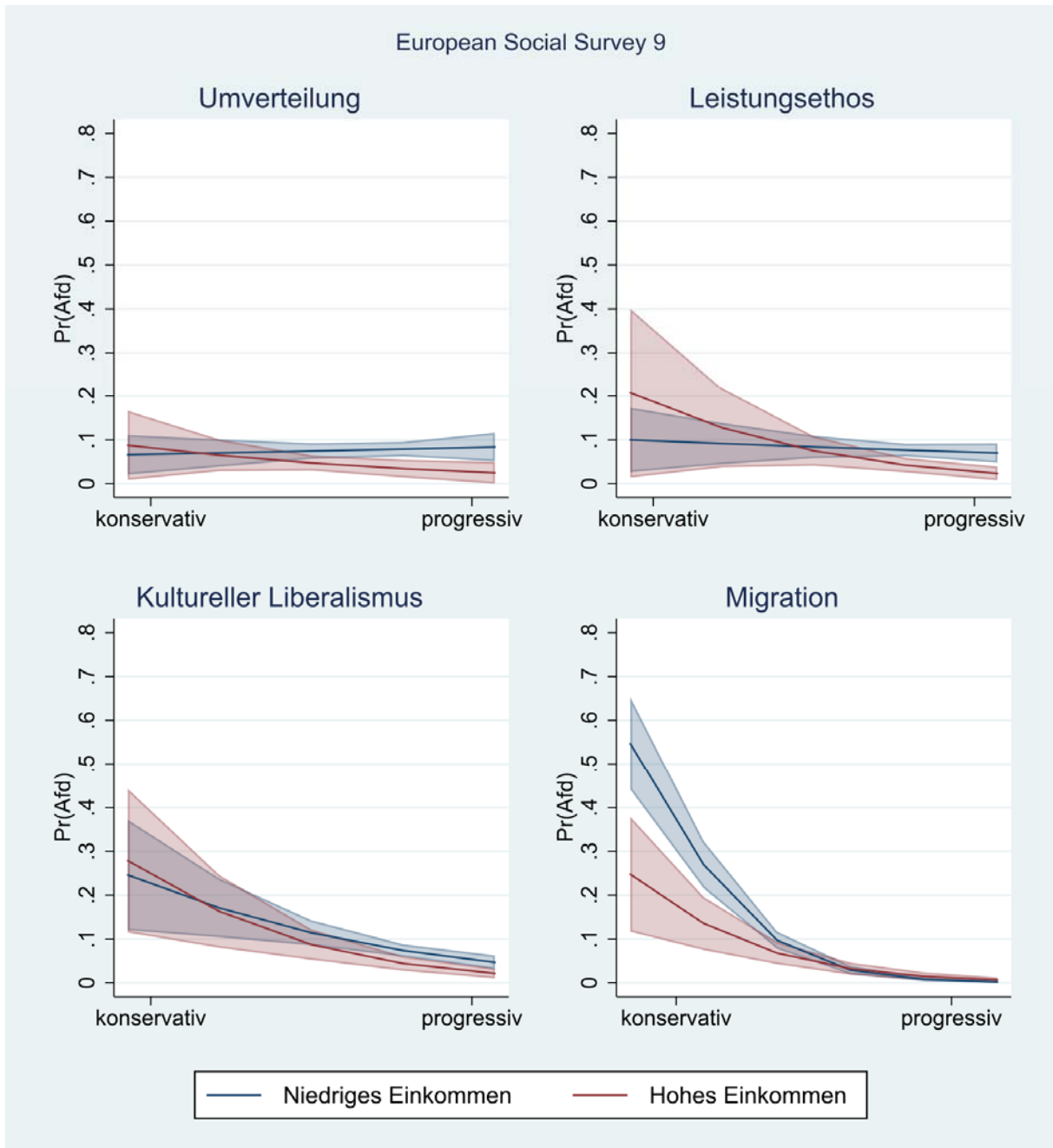


Abb. 12 Vorhergesagte Wahrscheinlichkeiten für AfD-Sympathie für unterschiedliche Einkommensklassen für vier unterschiedliche Einstellungsdimensionen (Quelle: Eigene Berechnungen mit Daten des ESS 9; für detaillierte Ergebnisse siehe Tabelle 4 im Online-Anhang)

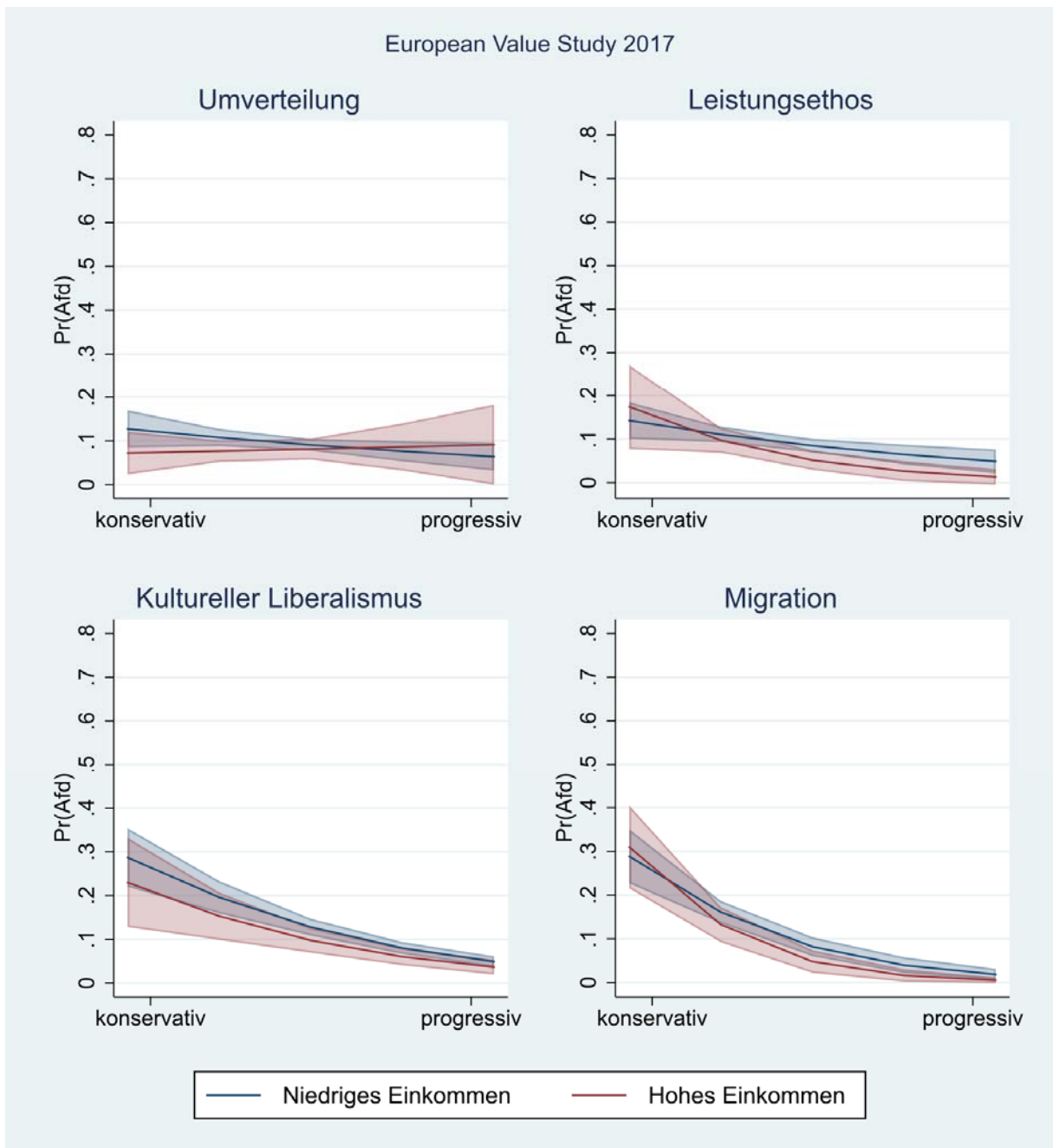


Abb. 13 Vorhergesagte Wahrscheinlichkeiten für AfD-Sympathie für unterschiedliche Einkommensklassen für vier unterschiedliche Einstellungsdimensionen (Quelle: Eigene Berechnungen mit Daten der EVS 2017; für detaillierte Ergebnisse siehe Tabelle 4 im Online-Anhang)

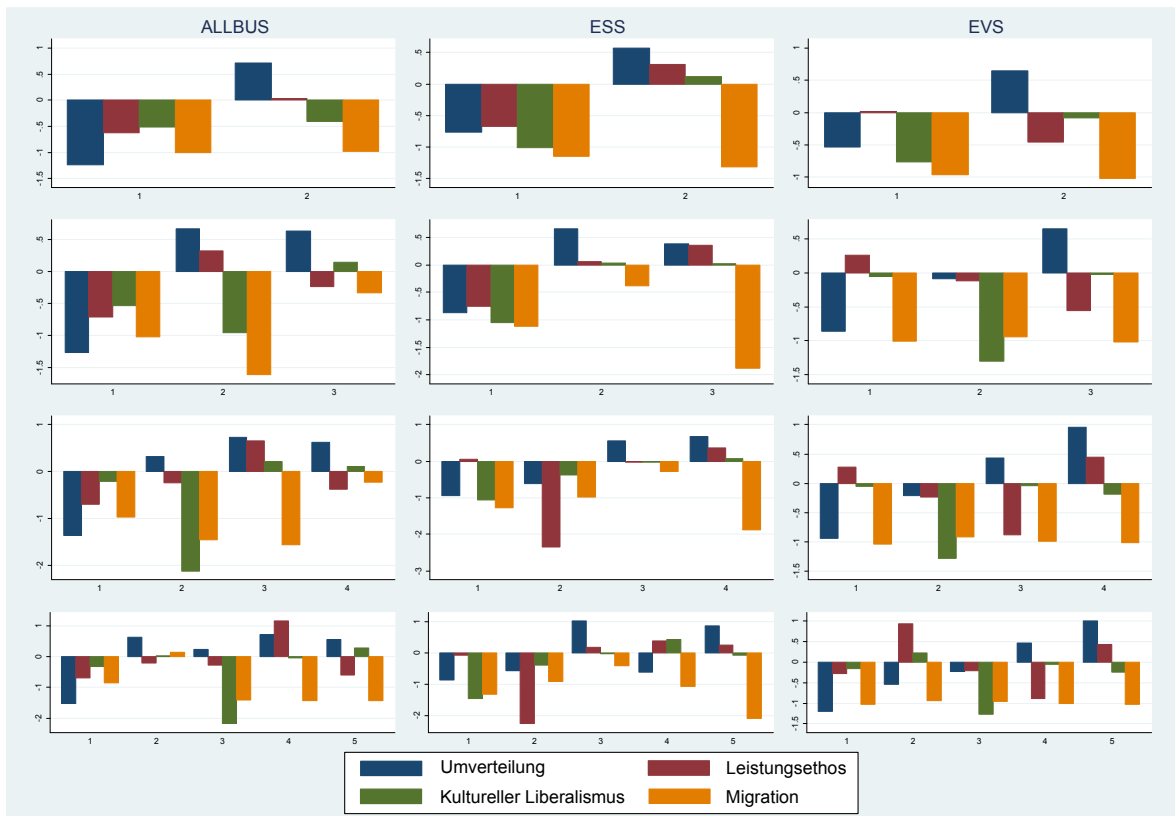


Abb. 14 2- bis 5-Clusterlösungen. Finale Zuordnung der Clusterzugehörigkeiten durch das K-Means-Verfahren (Quelle: Eigene Berechnungen mit Daten des ALLBUS 2018, des ESS 9 und der EVS 2017)

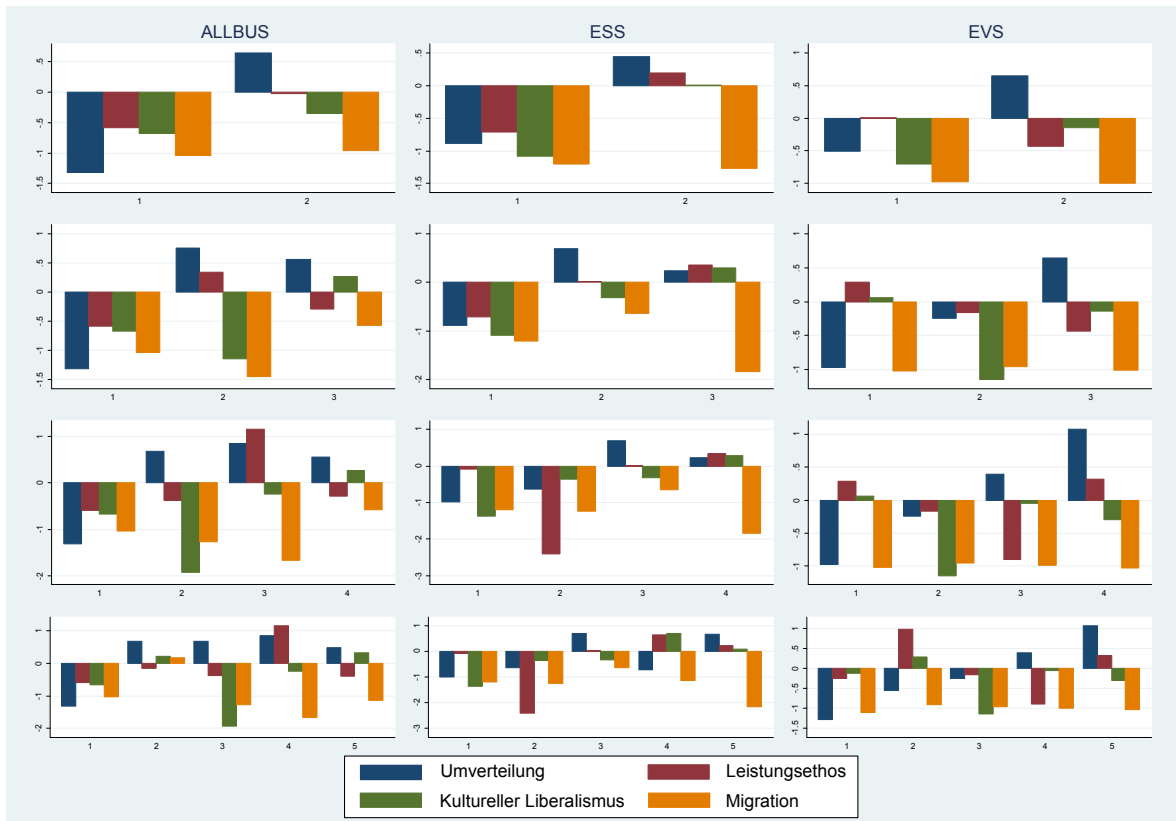


Abb. 15 2- bis 5-Clusterlösungen mit dem Ward-Verfahren (Quelle: Eigene Berechnungen mit Daten des ALLBUS 2018, des ESS 9 und der EVS 2017)

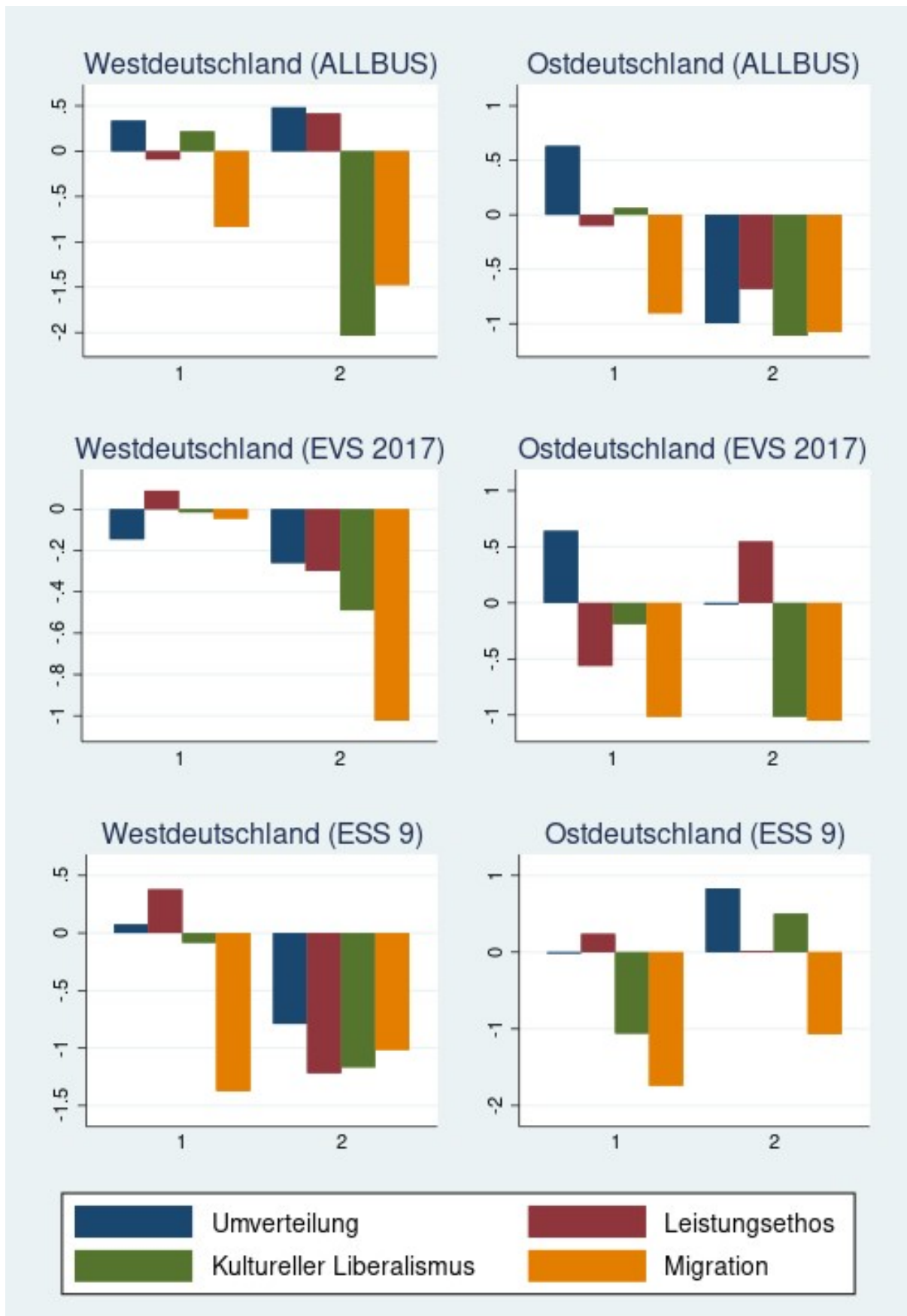


Abb. 16 Clusteranalysen separat für West- und Ostdeutschland. Abweichungen vom Gesamtmittelwert (Quelle: Eigene Berechnungen mit Daten des ALLBUS 2018, des ESS 9 und der EVS 2017)

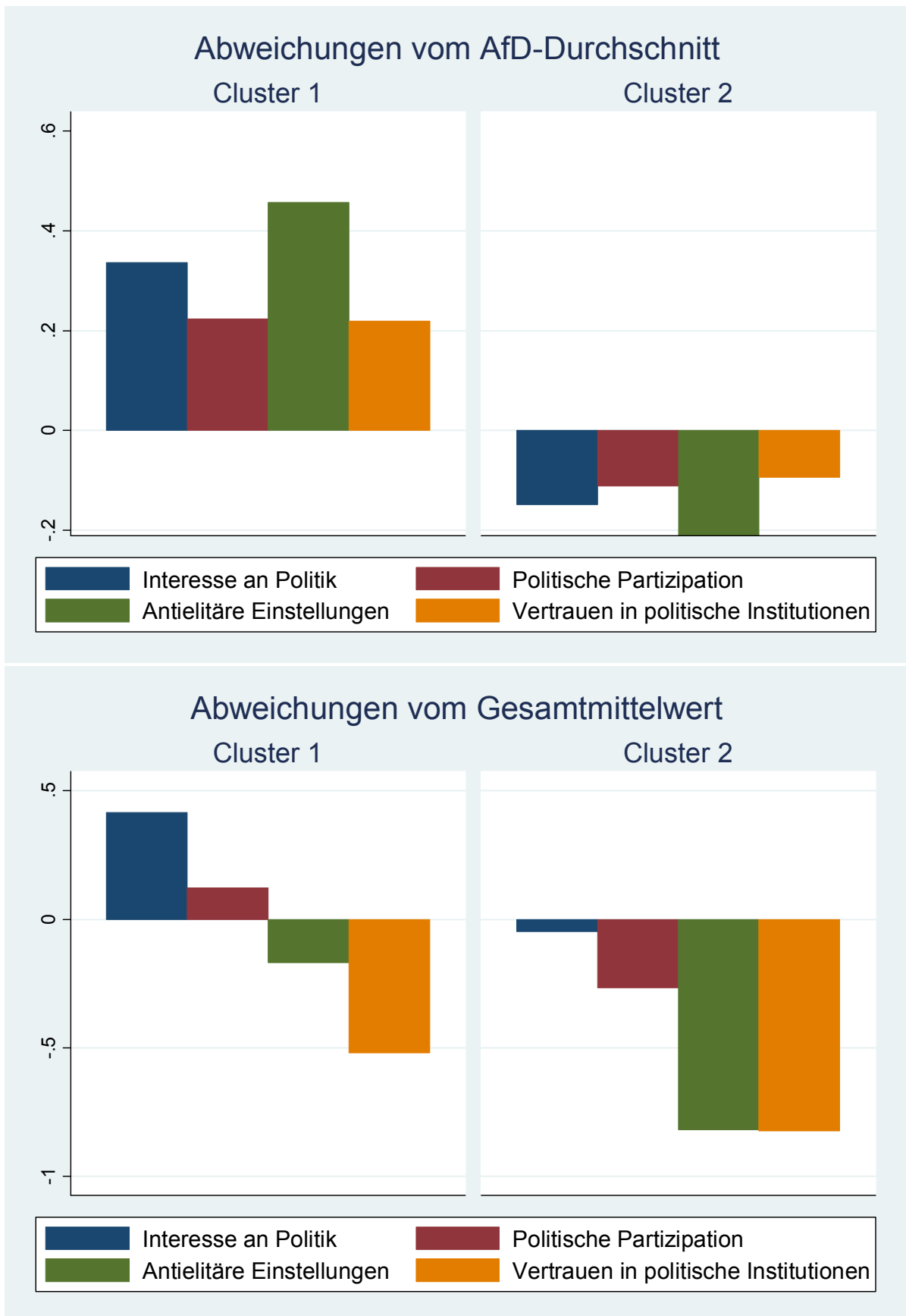


Abb. 17 Verhältnis zum politischen System (Quelle: Eigene Berechnungen mit Daten des ALLBUS 2018; hohe Werte zeigen überdurchschnittlich linke und niedrige Werte rechte Einstellungen an)

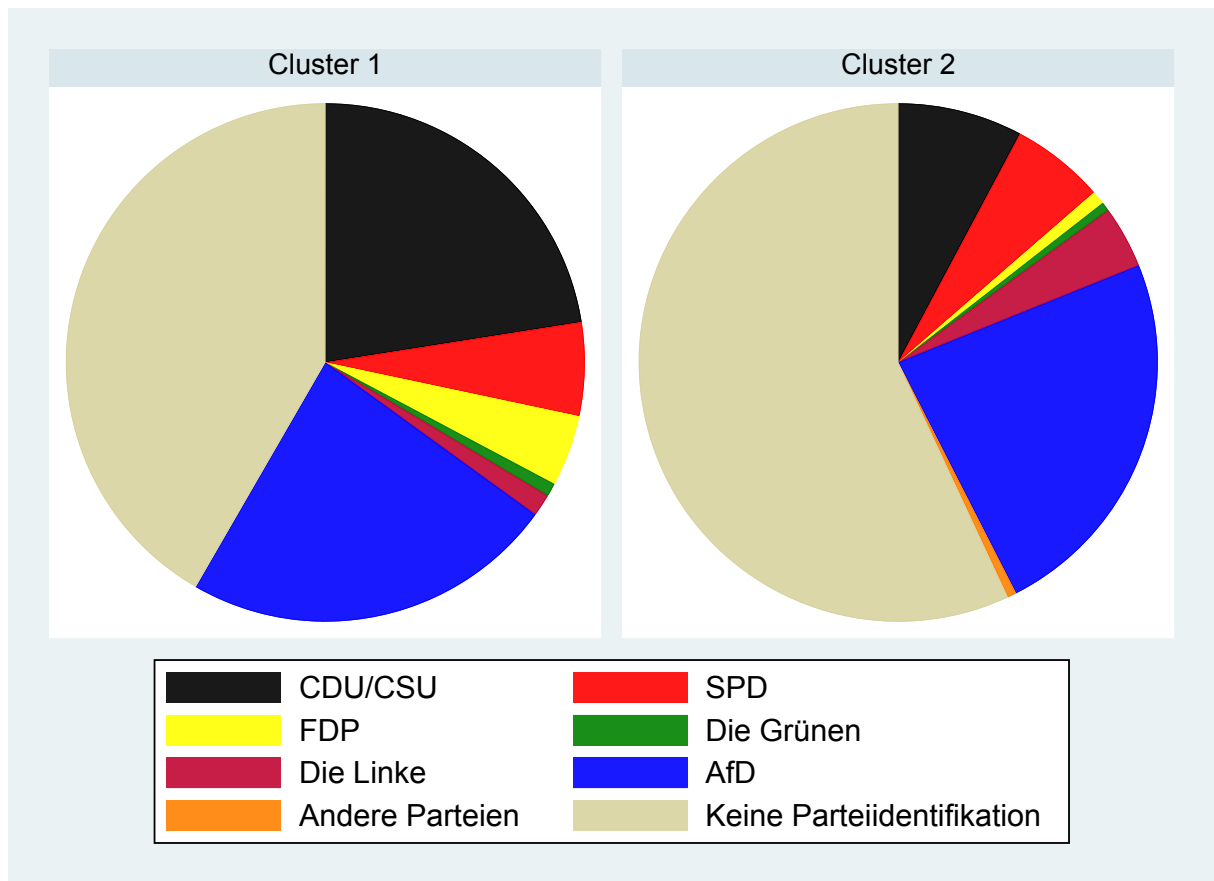


Abb. 18 Identifikation mit Parteien von Personen, die mit der AfD sympathisieren. Vergleich von Cluster 1 und Cluster 2 (Quelle: Eigene Berechnungen mit Daten des ALLBUS 2018)

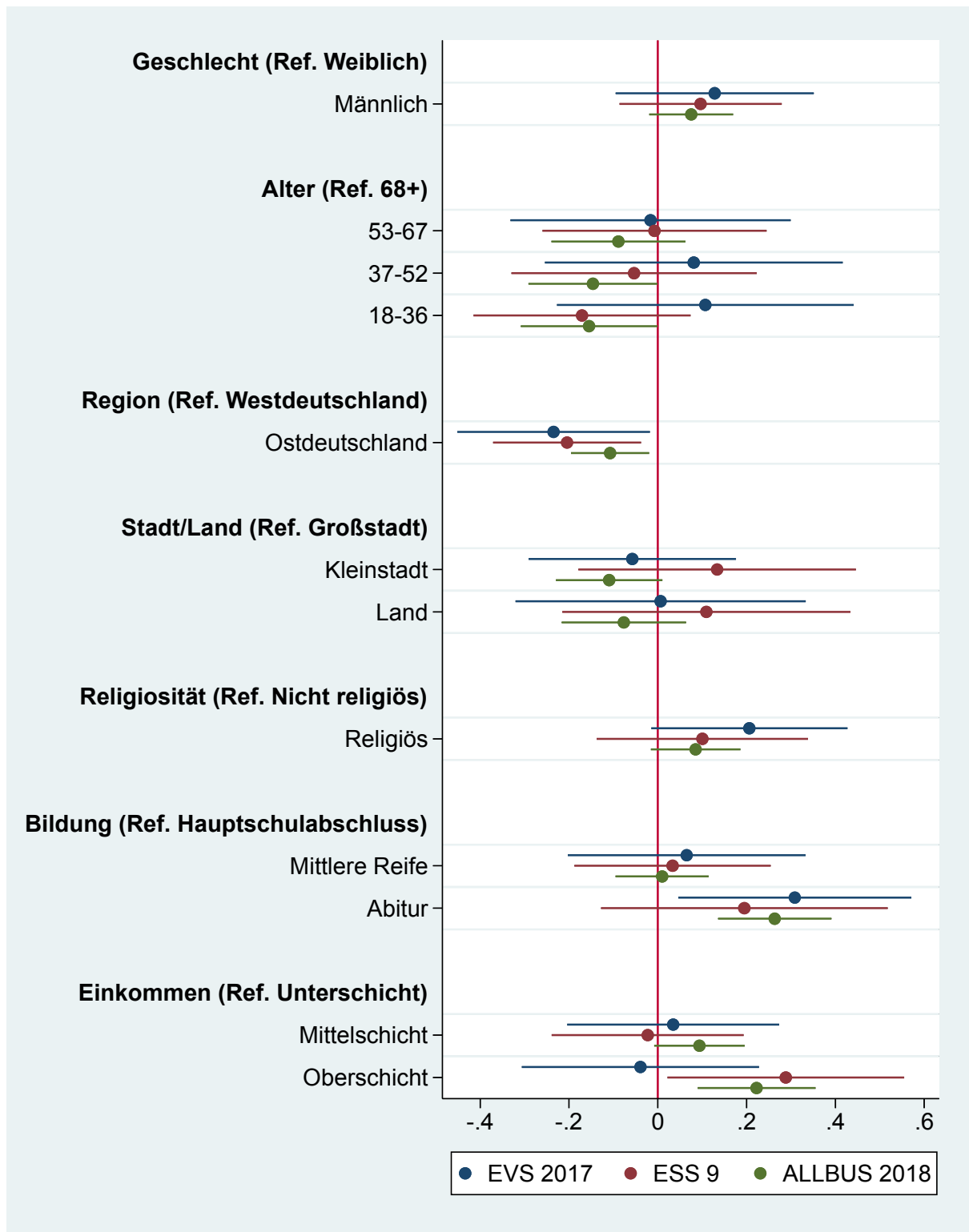


Abb. 19 Koeffizientenplot der logistischen Regressionen mit Clusterzugehörigkeiten als abhängiger Variable. Referenzgruppe stellen Angehörige von Cluster 2 dar (Quelle: Eigene Berechnungen basierend auf Daten des ALLBUS 2018, des ESS 9 und der EVS 2017; marginale Effekte)

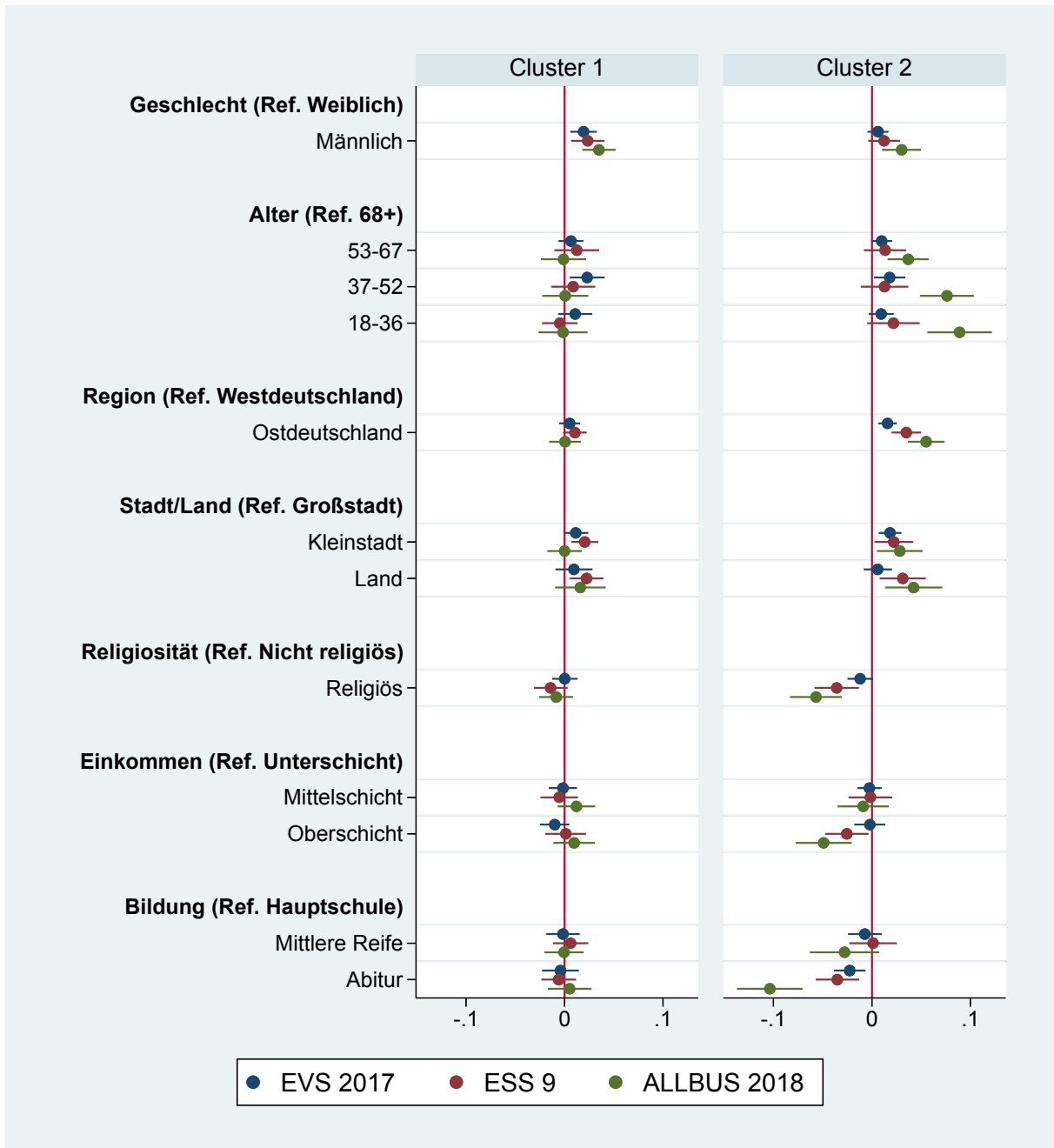


Abb. 20 Koeffizientenplot der multinomialen logistischen Regressionen. Referenzgruppen sind jeweils Nicht-AfD-Sympathisantinnen (Quelle: Eigene Berechnungen basierend auf Daten des ALLBUS 2018, des ESS 9 und der EVS 2017; marginale Effekte)